

**Zeitschrift:** Eclogae Geologicae Helvetiae  
**Herausgeber:** Schweizerische Geologische Gesellschaft  
**Band:** 42 (1949)  
**Heft:** 2

**Anhang:** Tafeln  
**Autor:** [s.n.]

### **Nutzungsbedingungen**

Die ETH-Bibliothek ist die Anbieterin der digitalisierten Zeitschriften. Sie besitzt keine Urheberrechte an den Zeitschriften und ist nicht verantwortlich für deren Inhalte. Die Rechte liegen in der Regel bei den Herausgebern beziehungsweise den externen Rechteinhabern. [Siehe Rechtliche Hinweise.](#)

### **Conditions d'utilisation**

L'ETH Library est le fournisseur des revues numérisées. Elle ne détient aucun droit d'auteur sur les revues et n'est pas responsable de leur contenu. En règle générale, les droits sont détenus par les éditeurs ou les détenteurs de droits externes. [Voir Informations légales.](#)

### **Terms of use**

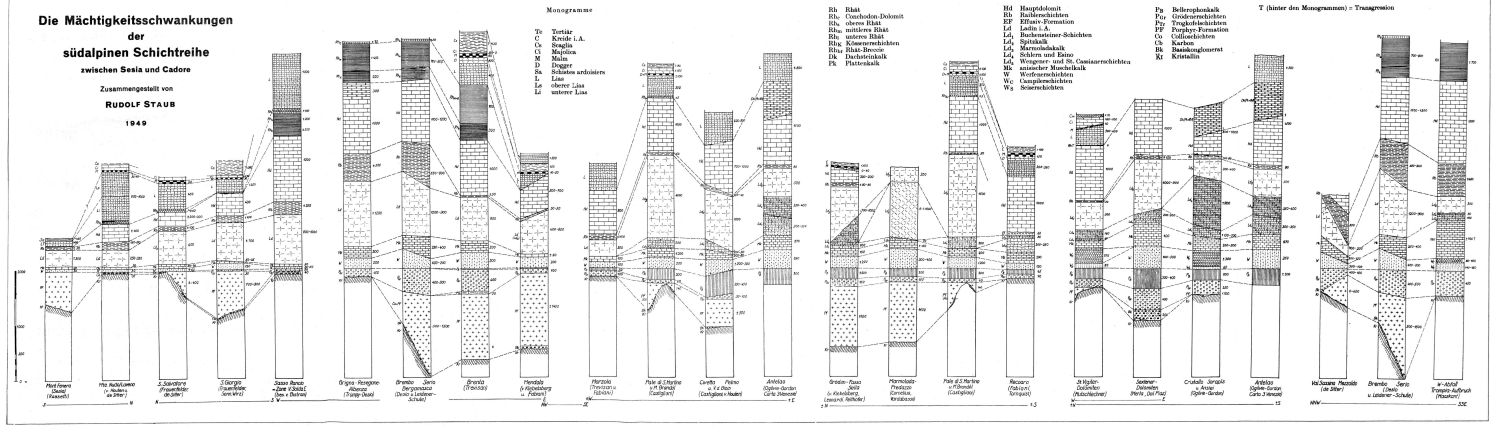
The ETH Library is the provider of the digitised journals. It does not own any copyrights to the journals and is not responsible for their content. The rights usually lie with the publishers or the external rights holders. [See Legal notice.](#)

**Download PDF:** 17.02.2025

**ETH-Bibliothek Zürich, E-Periodica, <https://www.e-periodica.ch>**

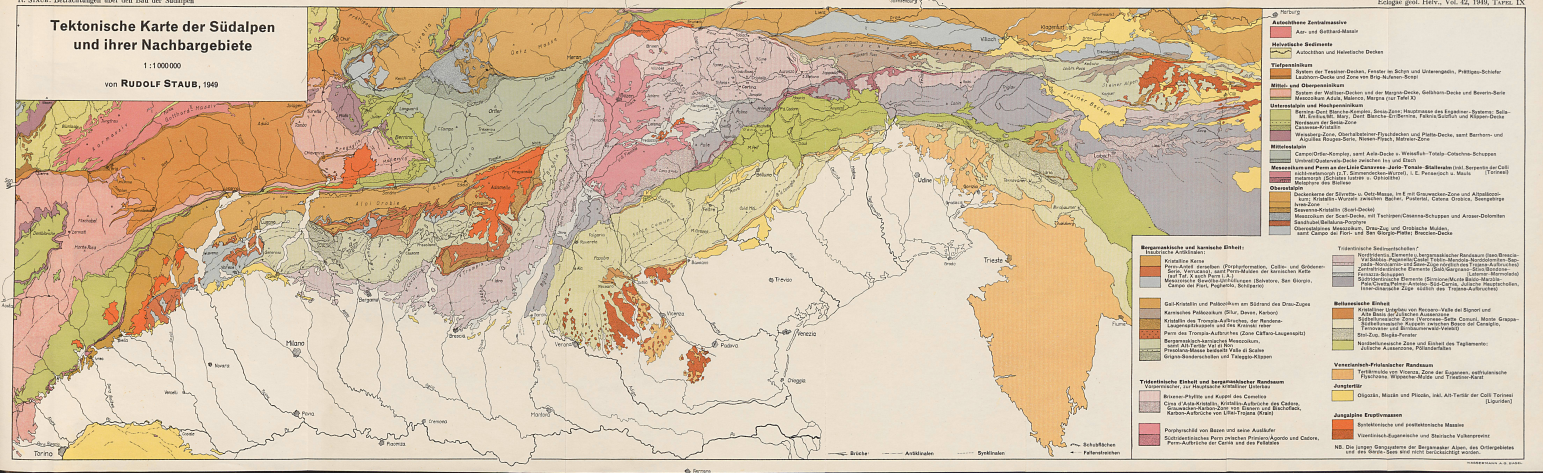
Die Mächtigkeitsschwankungen der südlichen Schichtreihe zwischen Sesia und Cadore

Zusammengestellt von RUDOLF STAUB 1949



# Tektonische Karte der Südalpen und ihrer Nachbargebiete

1:1.000.000  
von **RUDOLF STAUB**, 1949



**Autochthone Zentralmassive**

- Alpen- und Südalpenmassive
- Metakalke Südalpen
- Alpidische und Helvetische Decken

**Trochäenmassive**

- System der Trochäen-Decken, Fagnola, St. Belgio und Unterengadin; Pelizzone-Schlier
- Karawanken-Decke und Zone von St. Valentin-Südpass

**Alpen- und Ötztalgebirge**

- System der Südalpen-Decke und der Region-Decke, Südtirol-Decke und Brenta-Beck
- Massive der Alpe, Marmara, Merga (mit TAFI K)

**Unterengadin und Bergamasker Alpen**

- System der Unterengadin-Decke, Unterengadin der Karawanken System, Südtirol-Decke
- Marmara-Beck, Merga, Gail, Sillone-Decke, Fagnola-Südpass und Alpen-Decke
- Massive der Alpe, Oberostalpe, Oberostalpe-Flüßchen und Plate-Decke, west Brenton- und Alpidische Engadiner-Decke, Brenta-Fluß, Marmara-Beck

**Mittelalpen**

- Carone-Gebirge, west Adige-Decke v. Weißfluh-Tal, Cembra-Schnee
- Carone-Gebirge, west Adige-Decke v. Weißfluh-Tal, Cembra-Schnee

**Westalpen und Penninische Gebirge**

- Westalpen und Penninische Gebirge, Westalpen-Decke, Brenta-Beck, Südtirol-Decke, Unterengadin-Decke, Unterengadin-Decke, Unterengadin-Decke, Unterengadin-Decke
- Westalpen und Penninische Gebirge, Westalpen-Decke, Brenta-Beck, Südtirol-Decke, Unterengadin-Decke, Unterengadin-Decke

**Ostalpen**

- Ostalpen, Ostalpen-Decke, Ostalpen-Decke, Ostalpen-Decke, Ostalpen-Decke

**Trochäische Gebirge**

- Trochäische Gebirge, Trochäische Gebirge, Trochäische Gebirge, Trochäische Gebirge

**Basaltische und granitische Einheiten**

- Kristalline Kerne
- Paläozoische und Mesozoische Gesteine
- Paläozoische und Mesozoische Gesteine

**Trochäische Einheiten und Subappenninische Rumpfmassive**

- Trochäische Einheiten, Subappenninische Rumpfmassive, Trochäische Einheiten, Subappenninische Rumpfmassive

**Subappenninische Rumpfmassive**

- Subappenninische Rumpfmassive, Subappenninische Rumpfmassive, Subappenninische Rumpfmassive

**Subappenninische Rumpfmassive**

- Subappenninische Rumpfmassive, Subappenninische Rumpfmassive, Subappenninische Rumpfmassive

**Subappenninische Rumpfmassive**

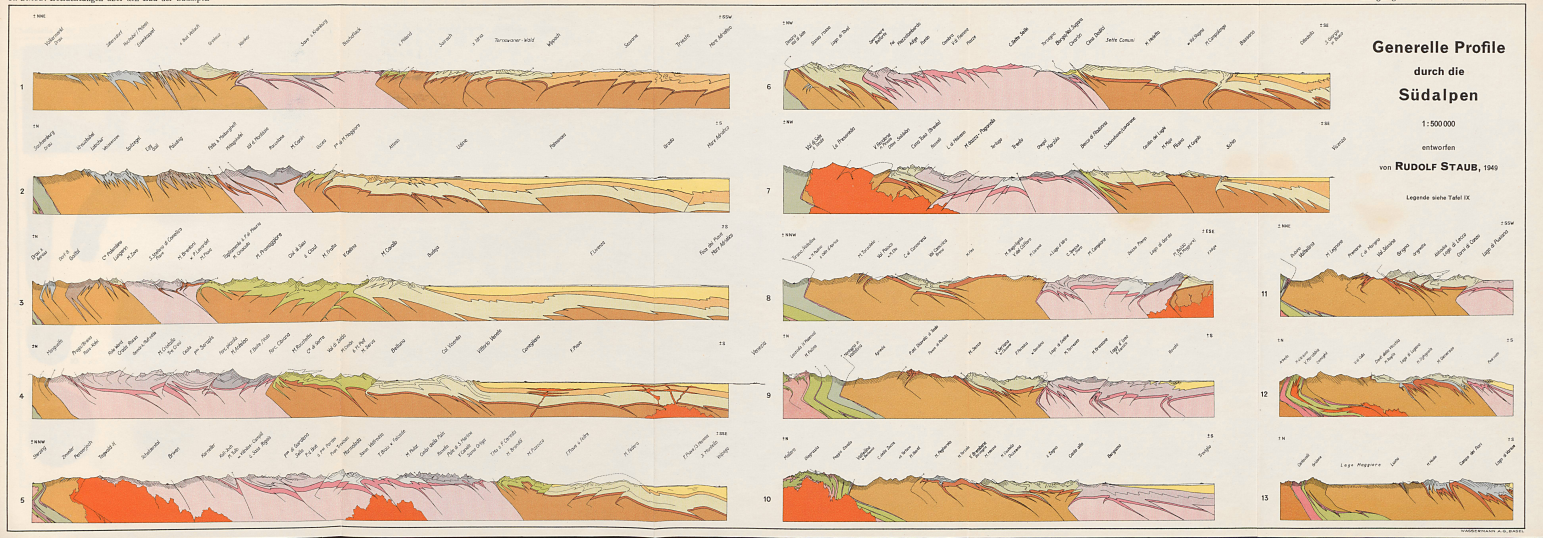
- Subappenninische Rumpfmassive, Subappenninische Rumpfmassive, Subappenninische Rumpfmassive

**Subappenninische Rumpfmassive**

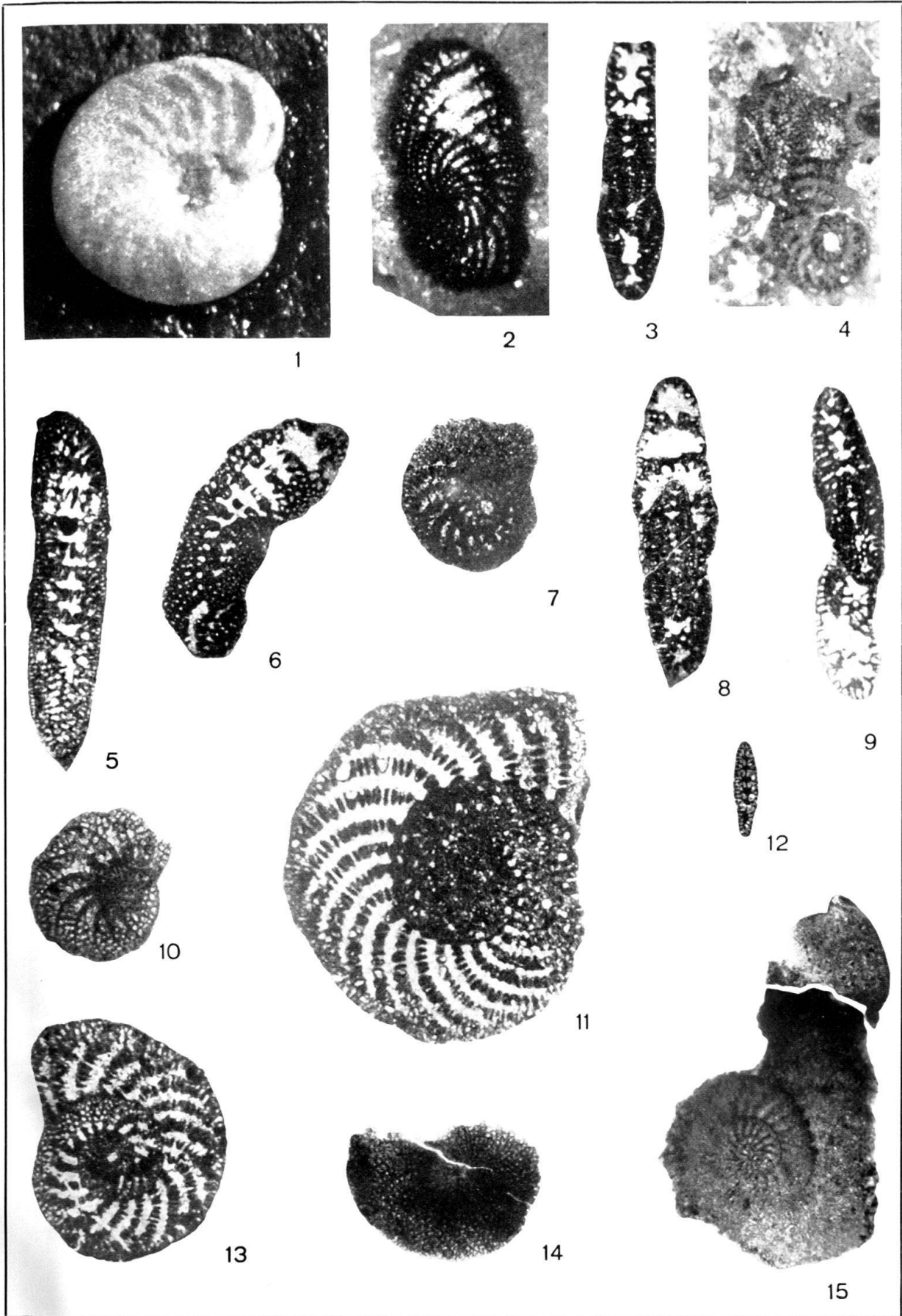
- Subappenninische Rumpfmassive, Subappenninische Rumpfmassive, Subappenninische Rumpfmassive

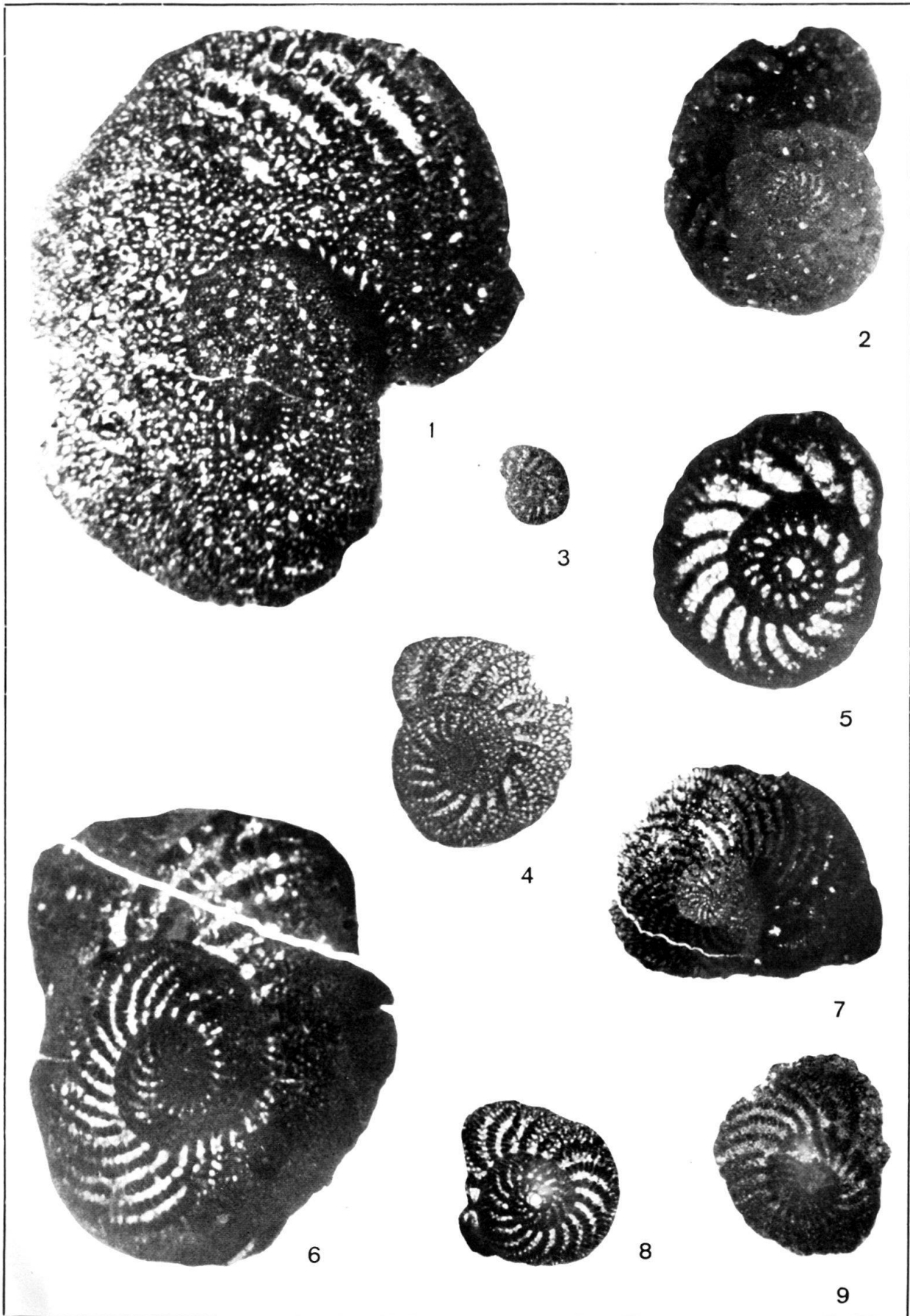
**Subappenninische Rumpfmassive**

- Subappenninische Rumpfmassive, Subappenninische Rumpfmassive, Subappenninische Rumpfmassive

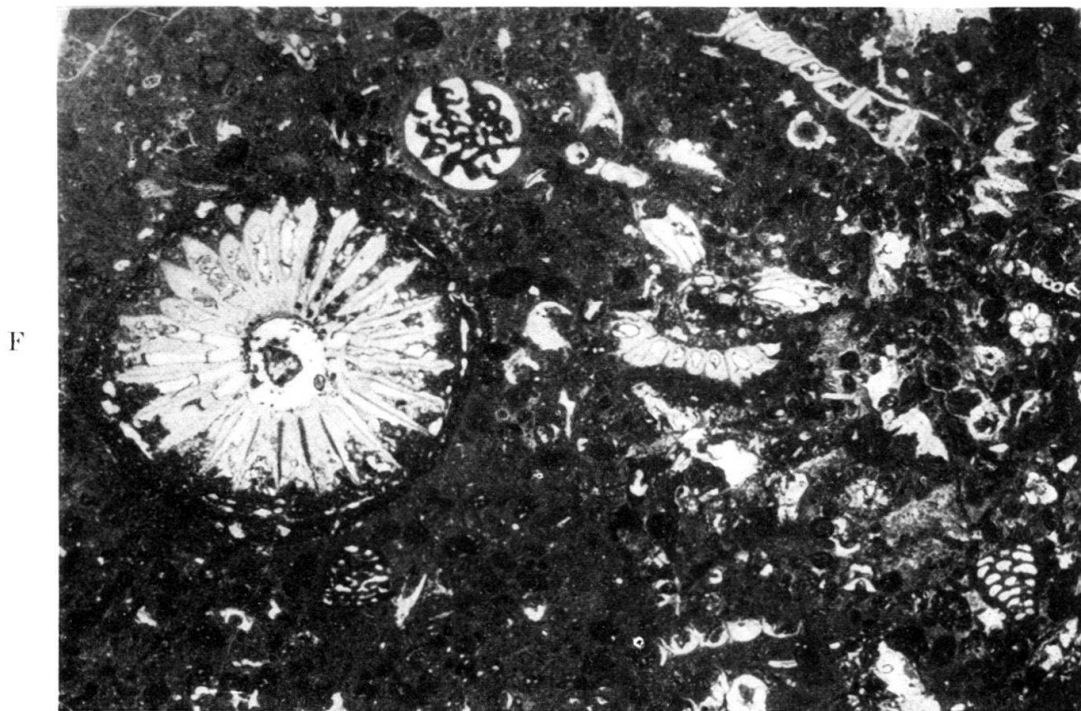


**Generelle Profile**  
 durch die  
**Südalpen**  
 1:500'000  
 entworfen  
 von **RUDOLF STAUB**, 1949  
 Legende siehe Tafel IX



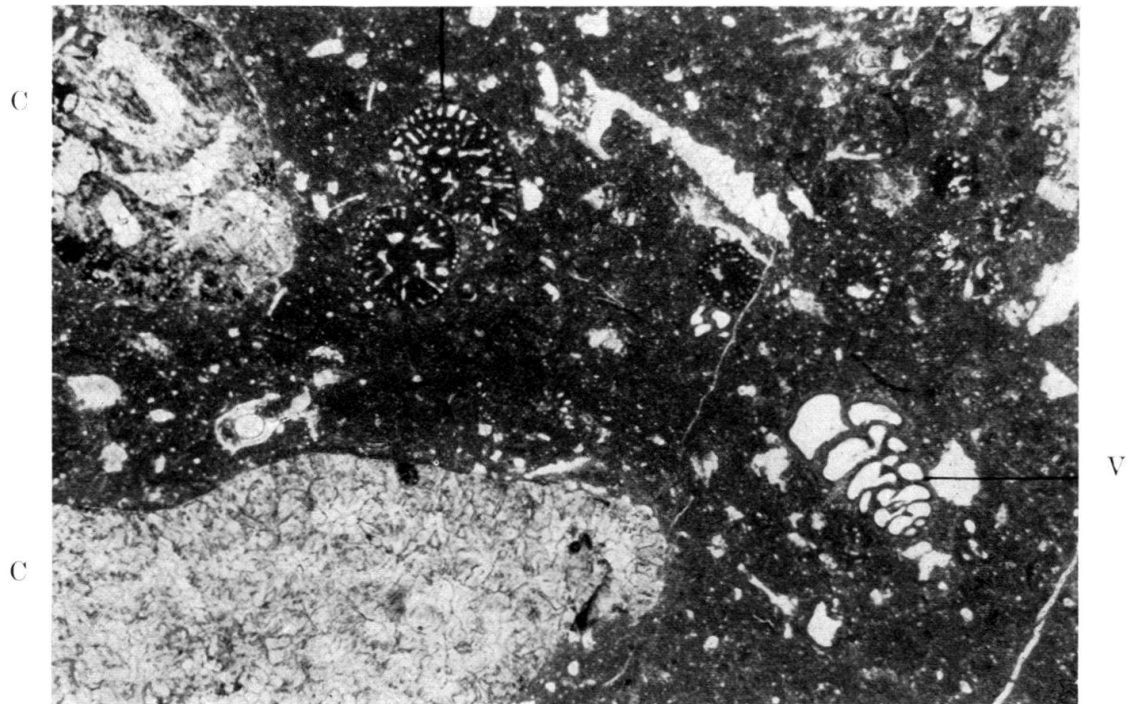


D



1

A



2

Fig. 1. *Clypeina* aff. *jurassica* FAVRE (F), und ?*Dukhanina* sp. (D). Elatos-Pass zwischen Amphissa und Lidorikion im mittलगriechischen Kionagebirge. 10 ×.

Fig. 2. *Valvulinella jurassica* HENSON (A), *Valvulina* sp. (V) und *Cladocoropsis* (C). Salima-Tal im Libanon. Erste Gesteinsprobe. 15 ×.

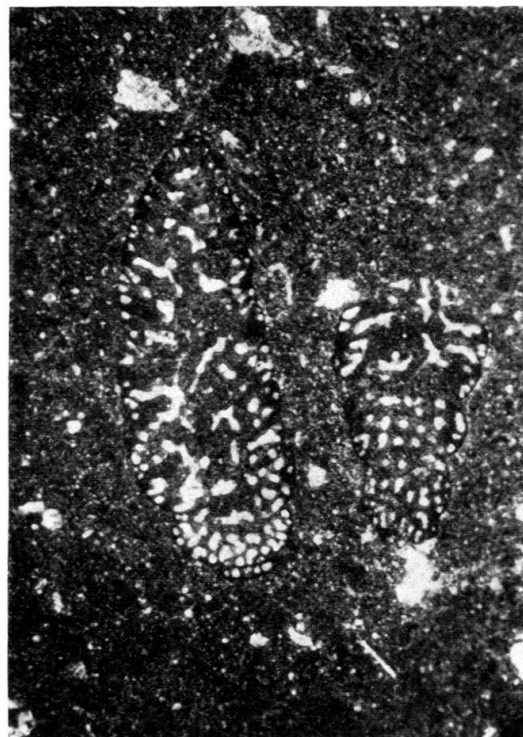
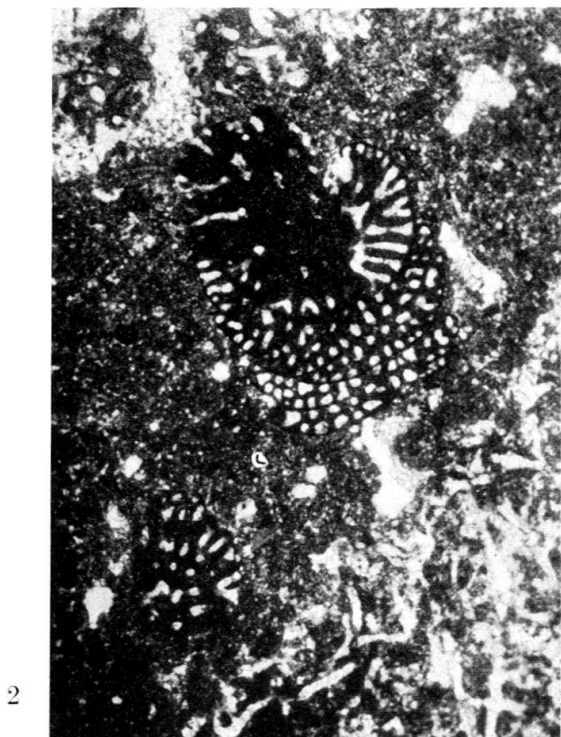
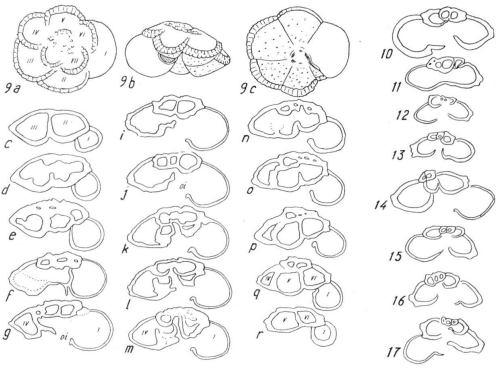


Fig. 1. *Valvulinella jurassica* HENSON. Wadi el Karn im Antilibanon. 30 ×.

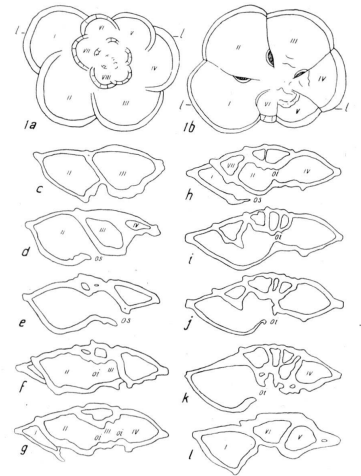
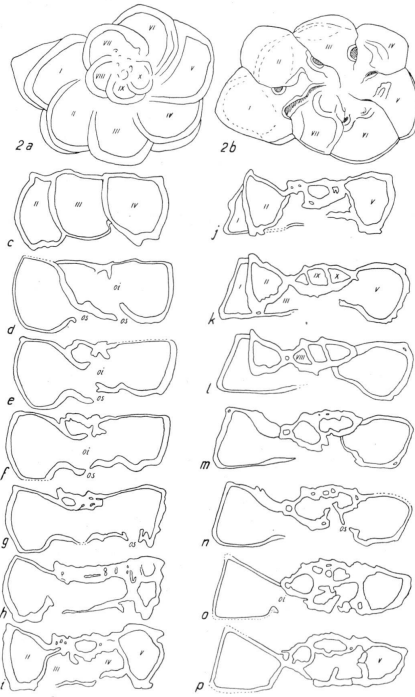
Fig. 2. *Valvulinella cf. wellingsi* HENSON. Salima-Tal im Libanon. 30 ×.

Fig. 3. *Valvulinella jurassica* HENSON. Salima-Tal im Libanon. Zweite Gesteinsprobe. 30 ×.

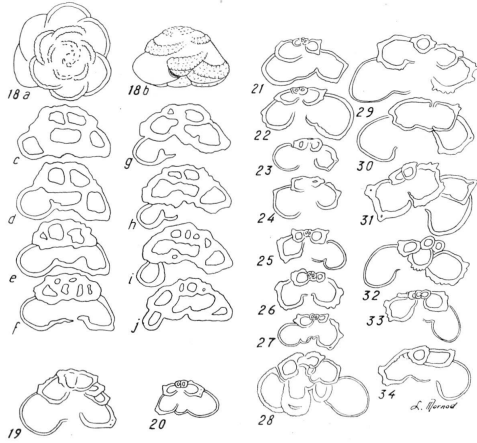




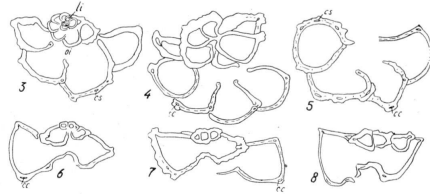
9a-r, 10-17. *Globotruncana stephani* GANDOLFI.



1a-11. *Rotaliopora apenninica* RENZ.

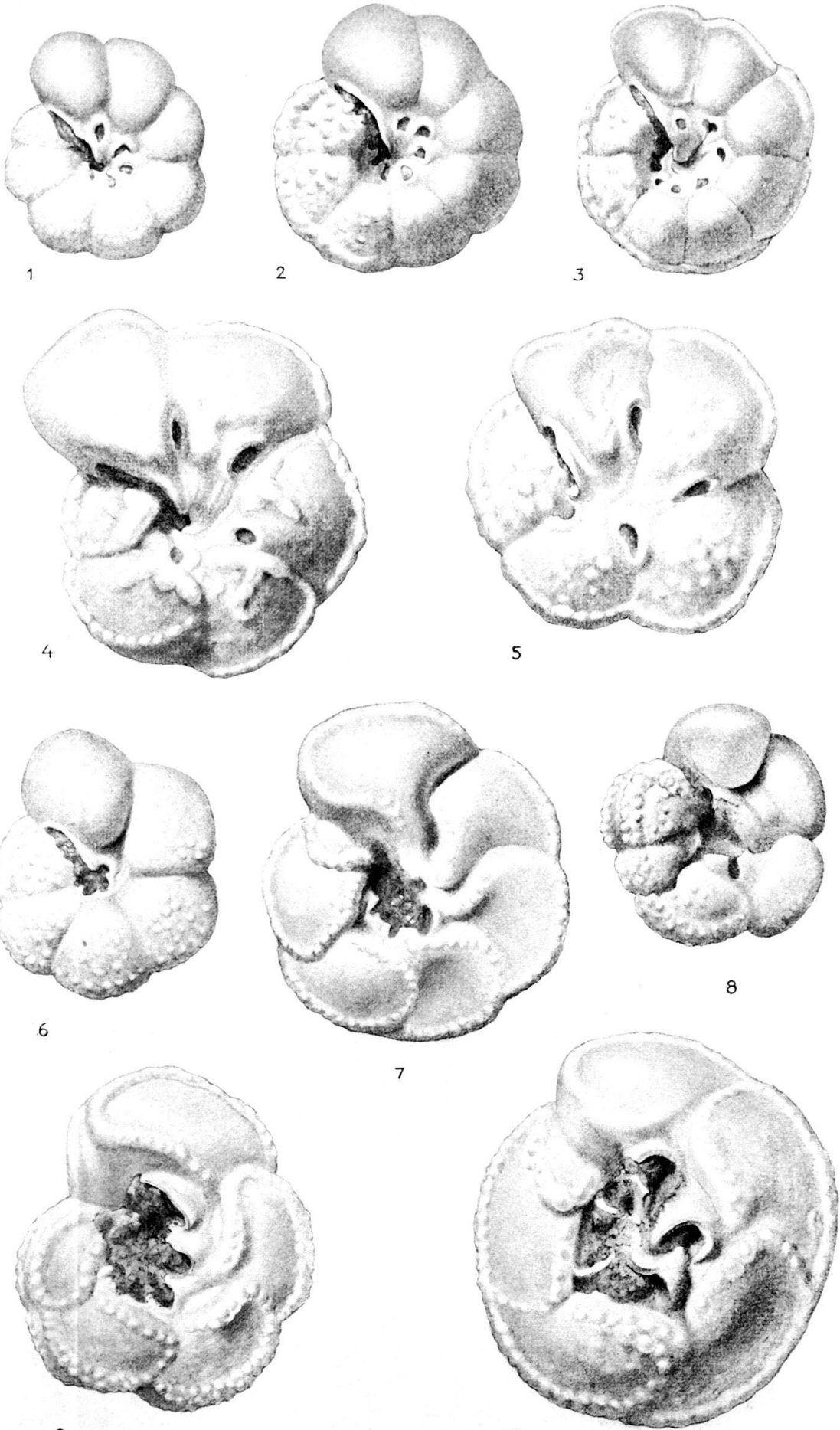


18a-j, 19-20. *Globotruncana stephani* var. *turbinata* REICHEL.  
21-34. *Globotruncana imbricata* n. sp.



2a-p, 3-8. *Rotaliopora reicheli* n. sp.

Voir l'explication détaillée de la Planche  
aux pages 595-596.



MR

